

3
Б-24
567



В.С. Барашенков

P-567

УПРУГОЕ РАССЕЯНИЕ
БЫСТРЫХ ЧАСТИЦ
НА МАЛЫЕ УГЛЫ χ

Fortschr. Phys., 1961, Bd. 9, n. 1, s. 42-49.

P-567

В.С. Барашенков

УПРУГОЕ РАССЕЯНИЕ
БЫСТРЫХ ЧАСТИЦ
НА МАЛЫЕ УГЛЫ ^{x/}

^{x/} Обзорный доклад на Всесоюзной межвузовской конференции
по теории поля и элементарных частиц, Ужгород, 1960 г.

Объединенный институт
ядерных исследований
БИБЛИОТЕКА

785/2 чр.

В теоретических работах уже давно обращалось внимание, что упругое рассеяние быстрых мезонов и нуклонов является эффективным средством исследования внутреннего строения элементарных частиц и атомных ядер /см., например, работы ¹⁻⁴, где приведена подробная библиография/. В частности, измерения на малых углах позволяют получить сведения о периферических взаимодействиях частиц.

Далее будут рассмотрены некоторые вопросы, связанные с интерпретацией опытов по упругому рассеюнию быстрых частиц.

1. Действительная часть амплитуды упругого рассеяния при больших энергиях

Полученные недавно в Дубне экспериментальные данные по упругому пр-рассеянию при энергии 8,5 Бэв показали, что широко использовавшаяся до сих пор модель чисто поглощающего нуклона является слишком грубой, и по-видимому, не может объяснить всех экспериментальных результатов. Величина сечения упругого рассеяния под нулевым углом $\theta = 0$ по данным работ ⁵ намного превосходит значение, полученное по оптической теореме /в предположении, что полное сечение пр-взаимодействия при 8,5 Бэв $\sigma \approx 30 \cdot 10^{-27} \text{ см}^2$ ⁵/. Формально экспериментальные данные можно объяснить, допустив, что действительная часть амплитуды упругого рассеяния $\mathcal{D}(E)$ при $\theta = 0$ отлична от нуля и по модулю равна приблизительно $3 \cdot 10^{-13} \text{ см}$ /в системе центра масс/. То, что $\mathcal{D}(E)$ достигает столь больших значений при $E \gg 1$ Бэв, является неожиданным и удивительным результатом.

В этой связи представляет большой интерес теоретически исследовать поведение $\mathcal{D}(E)$ при больших энергиях.

В работах ⁶ было показано, что при $E \rightarrow \infty$ $\mathcal{D}(E)$ возрастает во всяком случае медленнее, чем $E \ln E$. Однако, можно получить более определенные заключения о поведении $\mathcal{D}(E)$ при больших энергиях.

Для этого сечение упругого рассеяния σ_{el} представим в виде:

$$\begin{aligned} \sigma_{el} &= \pi \lambda^2 \sum_{\ell=0}^{\infty} (2\ell+1) |1 - \beta_{\ell} e^{2i\delta_{\ell}}|^2 = \\ &= \pi \lambda^2 \sum_{\ell=0}^{\infty} (2\ell+1) (1 - \beta_{\ell})^2 + 4\pi \lambda^2 \sum_{\ell=0}^{\infty} (2\ell+1) \beta_{\ell} \sin^2 \delta_{\ell} \equiv \Sigma_1 + \Sigma_2. \end{aligned}$$

Здесь первый член целиком обусловлен неупругими процессами ($\beta_e \neq 1$) и представляет собой сечение чисто дифракционного рассеяния. Второй член связан с недифракционным рассеянием.

При $e \gg 1$

$$\Sigma_2 \approx 8\pi\lambda^2 \int_0^\infty \beta_e e \delta_e^2 de = \text{const} \cdot \beta(E) \cdot \delta^2(E)$$

где $\rho = \lambda e = e/E$ - параметр удара, а $\beta(E)$ и $\delta(E)$ - средние значения функций β_e и δ_e в области действия ядерных сил.

Так как при больших энергиях все рассеяние становится чисто дифракционным, то $\beta(E) \rightarrow 1$ и $\delta(E) \rightarrow 0$. Отсюда следует, что

$$\Phi(E) = 2\lambda \sum_{e=0}^{\infty} (2e+1) \beta_e \sin 2\delta_e \approx \text{const} \cdot E \cdot \delta(E) \quad /1/$$

растет во всяком случае медленнее, чем E .

Этот результат означает, что в дисперсионном соотношении для $\delta(E)$ должны обратиться в нуль все члены, степень роста которых больше или равна E . Отсюда в частном случае упругого рассеяния π -мезонов на нуклонах следует, что

$$\mathcal{D}_-^0 - \mathcal{D}_+^0 - \frac{4f^2}{\mu} + \frac{\mu}{2\pi^2} \int_{\mu}^{\infty} \frac{dE}{K} [\sigma_+(E) - \sigma_-(E)] = 0, \quad /2/$$

где $\mathcal{D}_\pm^0 \equiv \mathcal{D}_\pm(\mu)$; μ - масса π -мезона, $K = \sqrt{E^2 - \mu^2}$; σ_\pm - полные сечения взаимодействия π^\pm -мезонов с протонами.

Используя экспериментальные значения сечений σ_\pm , из соотношения /2/ с помощью статистического анализа можно определить значение постоянной мезон-нуклонной связи f^2 . Расчеты показали, что

$$f^2 = 0,08 \pm 0,005 \quad 1/.$$

В случае упругого рассеяния нуклонов соотношение, аналогичное /2/, имеет вид:

1/ В работе ⁹ из анализа соотношения /1/ получено значение $f^2 = 0,082 \pm 0,008$, что хорошо согласуется с нашим результатом. Я благодарен автору работы за ознакомление с его результатами.

$$\begin{aligned} \mathcal{D}_+^0 - \mathcal{D}_-^0 - 2 \frac{f^2 M}{\mu} + \frac{1}{2\pi^2} \frac{M}{\mu} i \int_0^M \frac{dE}{k} [\sigma_-(E) - \sigma_+(E)] + \\ + \frac{1}{2\pi^2} \frac{M}{\mu} \int_M^\infty \frac{dE}{k} [\sigma_-(E) - \sigma_+(E)] = 0, \end{aligned} \quad /3/$$

где $\mathcal{D}_\pm^0 \equiv \mathcal{D}_\pm(M)$, M - масса нуклона; $k = \sqrt{E^2 - M^2}$; σ_\pm - полные сечения pp - и $\bar{p}p$ - взаимодействий.

Это соотношение можно использовать для оценки величины сечений $\mathcal{D}_\pm(E)$ в нефизической области.

Учет равенств /2/ и /3/ чрезвычайно важен при вычислении значений $\mathcal{D}_\pm(E)$. Если не вычесть этих равенств из соответствующих дисперсионных соотношений для упругого πN - и NV - рассеяния, то даже небольшая неточность в экспериментальных данных, вследствие которой левая часть равенств /2/ и /3/ будет отличаться от нуля на очень малую величину d , даст в значение $\mathcal{D}_\pm(E)$ вклад $\Delta \mathcal{D}_\pm \sim dE$. При больших энергиях этот вклад может быть намного больше истинных значений $\mathcal{D}_\pm(E)$.

2. Упругое рассеяние π -мезонов на нуклонах

На рис. 1 приведены вычисленные из дисперсионных соотношений значения \mathcal{D}_\pm ^{2/}. Как видно, при больших энергиях действительная часть амплитуды упругого рассеяния не зависит от изотопического спина и равна в лабораторной системе координат постоянному значению

$$\mathcal{D}_\pm \simeq -0,35 \cdot 10^{-13} \text{ см.}$$

Из разложения дисперсионного соотношения по степеням E следует аналитическое выражение для этого предельного значения:

$$\mathcal{D}_\pm = \frac{1}{2} (\mathcal{D}_-^0 + \mathcal{D}_+^0) + \frac{f^2}{M} - \frac{1}{4\pi^2} \int_0^a \frac{E dE}{k} [\sigma_+(E) + \sigma_-(E)] + \frac{a\sigma}{2\pi^2},$$

^{2/} Численные расчеты выполнены в вычислительном центре Академии наук СССР на электронной счетной машине "Стрела" по программе, составленной И.Кухтиной.

где постоянная a определяется условием $\sigma_+ = \sigma_- = \sigma$ при $E \gg a$
/подробнее см. ⁷ /, №.

В системе центра масс $\mathcal{D}_\pm(E) \equiv \mathcal{D}_\pm^c(E)$ равно:

$$\mathcal{D}_\pm^c(E) = \frac{\lambda_0}{\lambda_c \cdot \lambda_N} \cdot \frac{M}{E} \cdot \mathcal{D}_\pm(E) \approx - \frac{0,23}{\sqrt{E}} \cdot 10^{-13} \text{ см.}$$

/здесь $\lambda_N = \frac{M}{M} \lambda_0 = 2,1 \cdot 10^{-14} \text{ см.} /$.

Как видно, $\mathcal{D}_\pm^c(E)$ убывает с ростом энергии. Вычисленные значения \mathcal{D}_\pm приведены на рис. 2. На рис. 3 приведены соответствующие значения дифференциального сечения $d\sigma_{pp}/d\Omega$ под углом $\Theta = 0$.

Как видно, при $E \gg 1$ Бэв. $\mathcal{D}_\pm^2(E) \ll d\sigma_{pp}^2/d\Omega$ и $d\sigma_{pp}^2/d\Omega \approx (E\mathcal{D}_\pm/4\pi)^2$
в отличие от результатов для pp-рассеяния, полученных в работе ⁵.

При вычислениях для $E \gtrsim 1$ Бэв были использованы значения сечений из обзора ¹⁰.

3. Упругое рассеяние нуклонов и антинуклонов на нуклонах

Как и в случае πN - взаимодействия, значения \mathcal{D}_\pm при больших энергиях становятся постоянными:

$$\mathcal{D}_\pm = \frac{1}{2} (\mathcal{D}_+^0 + \mathcal{D}_-^0) - \frac{2M^2 - \mu^2}{2M\mu} - \frac{1}{2\pi^2} \frac{1}{\mu} \left[\int_0^M dE \frac{E}{K} [\sigma_+(E) + \sigma_-(E)] - \right. \\ \left. - \frac{1}{2\pi^2} \frac{1}{\mu} \int_M^a dE \frac{E}{K} [\sigma_+(E) + \sigma_-(E)] + \frac{\sigma \cdot a}{2\pi^2} \frac{1}{\mu} \right],$$

где постоянная a определяется условием $\sigma_+ = \sigma_- = \sigma$ при $E \gg a$.

Однако, в этом случае численные расчеты затруднены двумя обстоятельствами:

а/ В дисперсионное соотношение входят неизвестные значения сечений $\sigma_\pm(E)$ в нефизической области $E \in [0; M]$ / M - масса нуклона/.

б/ Экспериментальные значения полного сечения $\bar{N}N$ - взаимодействия $\sigma_-(E)$ известно лишь до энергий $E = 3$ Бэв / E - полная энергия/.

Однако в области больших энергий $E \gg M$ и в этом случае можно получить ориентировочные заключения о величине $\mathcal{D}_\pm(E)$. Известные из опыта значения σ_-

при $E > 3$ Бэв можно получить экстраполяцией значений σ_- , известных при меньших энергиях, учитывая при этом, что при больших энергиях должно выполняться равенство $\sigma_- = \sigma_+$. Как показали расчеты, ошибки, возможные при такой экстраполяции, не сильно изменяют величину амплитуды pp-рассеяния.

Учитывая соотношение /3/, нетрудно убедиться, что при $E > M$ с точностью до членов $O[\alpha(M/E)]$, где $\alpha < 1$, вклад нефизической области сводится к константе:

$$k^2 \int_0^M \rightarrow \text{const} + O[\alpha(M/E)] \quad /5/$$

Знак и величину этой константы можно определить из двух опытов при некоторых фиксированных энергиях $E_1 \gg M$ и $E_2 \gg M$. /Например, из опытов при энергиях 8,7 Бэв и 6,15 Бэв. Такие опыты выполняются сейчас в Дубне и в Софии/.

На рис. 4 приведены результаты численных расчетов действительной части амплитуды упругого pp -рассеяния.

$$\mathcal{D}_+(E) = C + \frac{1}{80\pi^2 k^2} P \int_M^\infty \frac{dE'}{\sqrt{E'^2 - M^2}} \left[\frac{\sigma_+(E')}{E' - E} (EE' - M^2) - \frac{\sigma_-(E')}{E' + E} (EE' + M^2) \right] \quad ; \quad (6)$$

Здесь M, μ, E даны в единицах Бэв, σ_{\pm} - в единицах 10^{-27} см, \mathcal{D}_+ - в единицах 10^{-13} см. При вычислениях для $E \geq 1$ Бэв были использованы значения сечений σ_{\pm} из обзора 10.

Для кинетической энергии протона $T = 8,5$ Бэв $d\sigma_{el}(0)/d\Omega \sim 130 \cdot 10^{-27}$ см² /в системе центра масс/ 5, 6. Из рис. 4 для $T = 8,5$ Бэв получим $(\mathcal{D}_+ - C) = 0,1 \cdot 10^{-13}$ см. Тогда

$$C = 0,1 \cdot 10^{-13} \pm \frac{\lambda_c}{\lambda_e} \sqrt{\frac{d\sigma_{el}(0)}{d\Omega} - \left(\frac{\sigma_+}{4\pi\lambda_c}\right)^2} = (0,1 \pm 12,6) \cdot 10^{-13} \sim \pm 13 \cdot 10^{-13}$$

Здесь $\sigma_+ \approx 30 \cdot 10^{-27}$ см² [5], [11], $\lambda_c = 0,99 \cdot 10^{-14}$ см, $\lambda_e = 0,211 \cdot 10^{-14}$ - длины волн в системе центра масс и в лабораторной системе.

Чтобы различить между двумя значениями C (если, конечно, верить экспериментальным значениям $d\sigma_{el}/d\Omega$ и σ_+) требуется еще одно экспериментальное значение $d\sigma_{el}(0)/d\Omega$ или анализ интерференции ядерного и кулоновского рассеяния при малых углах.

С точки зрения дисперсионного соотношения /6/ несогласие между значениями постоянной C , определенными при энергиях $T = 8,5$ Бэв и $T \neq 8,5$ Бэв, означало бы, что использованные для расчета C экспериментальные значения

$d\sigma_{el}(0)/d\Omega$ или σ_+ неточны.

4. Феноменологический анализ упругого рассеяния быстрых частиц

Амплитуда упругого рассеяния представляется в этом случае в виде разложения по полиномам Лежандра.

$$A = \frac{\lambda i}{2} \sum_{e=0}^N (2e+1) (1 - e^{2i\zeta_e}) P_e(\cos \theta)$$

с комплексными фазами ζ_e , которые определяются из сравнения с опытом. Необходимое для этого число членов разложения N определяется размером R пространственной области, которую мы хотим исследовать. При больших энергиях, когда длина волны рассеивающейся частицы $\lambda \ll R$, $N \approx R/\lambda$.

Комплексный коэффициент преломления $\mathcal{K}(z) = n(z) + i\kappa(z)$ связан с фазой ζ_e интегральным уравнением

$$\zeta(\rho) = \int_0^{\infty} \mathcal{K}(\sqrt{\rho^2 + s^2}) ds, \quad /7/$$

где $\rho = \lambda \sqrt{e(e+1/2)} \approx \lambda e$. /Подробнее см. ⁴ /.

Это уравнение оказывается особенно полезным при изучении взаимодействия быстрых частиц с ядрами, так как в этом случае аналитический вид функции $\mathcal{K}(z)$ известен из опытов с рассеянием быстрых электронов на ядрах. На рис. 5 приведены значения сечений взаимодействия быстрых нуклонов с ядрами, вычисленные с использованием соотношения /7/. Эти значения хорошо согласуются с экспериментальными данными, известными для $E=1,4; 2,8; 4,5$ Бэв.

В случае взаимодействия элементарных частиц обычно приходится решать обратную задачу: по известным из опыта значениям ζ_e определять значения $\mathcal{K}(z)$. В работе ¹ для решения этой задачи применялся численный метод. Однако, можно получить и аналитическое решение, так как заменой переменных $\rho^2 = t$ и $s^2 = u - t$ уравнение /7/ сводится к интегральному уравнению типа Абея, решение которого имеет вид: ^{3/}

^{3/} Формула /8/ независимо была получена также сотрудниками Физического института в Будапеште Домокошем и Себастьяном ⁸. Я благодарен Г.Домокошу, ознакомившего меня с неопубликованными результатами его исследований.

$$\mathcal{K}(s) = -\frac{2}{\pi} \frac{d}{ds^2} \int_{\rho^2}^{\infty} \chi(z) \frac{z dz}{\sqrt{z^2 - s^2}} \quad /8/$$

Результаты численных расчетов коэффициента $\mathcal{K}(s)$ приведены в работах 1 - 5, 8.

Рукопись поступила в издательский отдел

13 июля 1960 года.

Л и т е р а т у р а

1. D.I.Blokhintsev, V.S.Barashenkov, V.G.Grishin, Nuovo Cimento, 9, 249 (1958).
2. D.Ito, S.Minami, H.Tanaka, Nuovo Cimento, 9, 208 (1958).
3. G.Domokos, "High energy pion-nucleon scattering and nucleon structure" /будет опубликовано/
"On the real part of the high energy nucleon-nucleon scattering amplitude" /будет опубликовано/
4. Д.И.Блохинцев, В.С.Барашенков, Б.М.Барбашов. УФН, 68, 417 /1959/.
5. В.Б.Любимов, П.К.Марков, Э.Н.Цыганов, Чжен Пу-ин, М.Г.Шафранова. ЖЭТФ /в печати/.
П.К.Марков, Э.Н.Цыганов, М.Г.Шафранова, Б.А.Шахбазян. Препринт ОИЯИ, Д-462.
6. С.З.Беленький, ЖЭТФ, 33, 1248 /1957/.
И.Я.Померанчук, ЖЭТФ, 34, 725 /1958/.
7. В.С.Барашенков, Сянь Дин-чан. ДАН /в печати/.
8. G.Domokos, A.Sebastjan, "Explicit Solution of the inversion problem in a phenomenological optical model" /будет опубликовано/
9. T.D.Spearman; preprint of St. John's College, Cambridge (1960).
10. В.С.Барашенков. УФН /в печати/, препринт ОИЯИ, Р-509 /161 /1960/.
11. Н.П.Богачев, С.А.Бунятов, И.М.Граменицкий, В.Б.Любимов, Ю.П.Мереков, М.И.Подгорецкий, В.М.Сидоров, Д.Тувдендорж. ЖЭТФ, 37, 1255 /1959/.

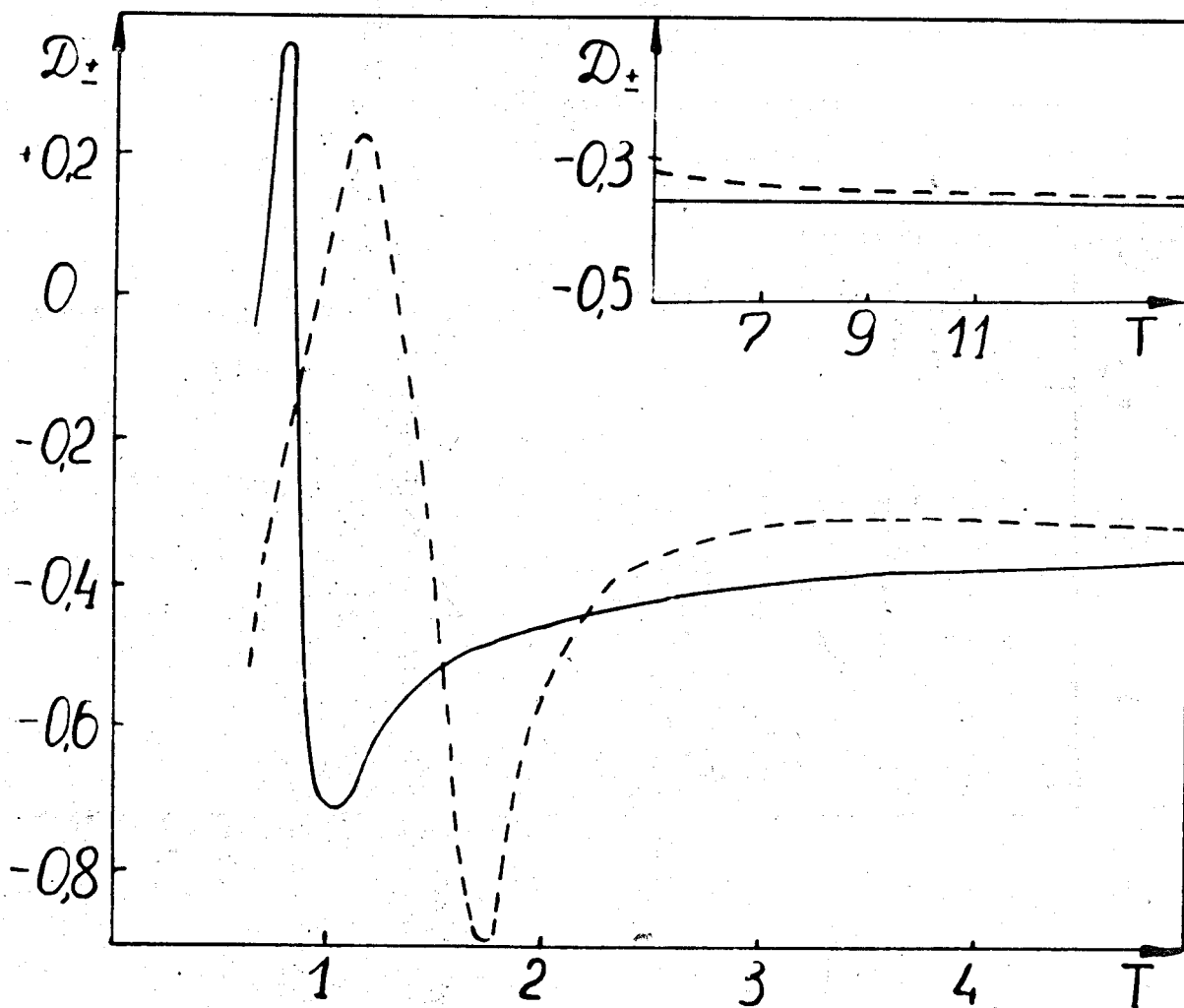


Рис. 1. Энергетическая зависимость действительной части амплитуды упругого рассеяния π^- -мезона на протоне $\mathfrak{D}_-(T)$ /сплошная кривая и π^+ -мезона на протоне $\mathfrak{D}_+(T)$ /пунктирная кривая/. Лаборатория система координат. Значения кинетической энергии T приведены в единицах Бэв; значения \mathfrak{D}_{\pm} - в единицах 10^{13} см. Неточность значений \mathfrak{D}_{\pm} из-за погрешностей в значениях \mathfrak{D}_{\pm}^0 и $f^2 \pm \Delta \mathfrak{D}_{\pm} \approx 0,04 \cdot 10^{-13}$ см.

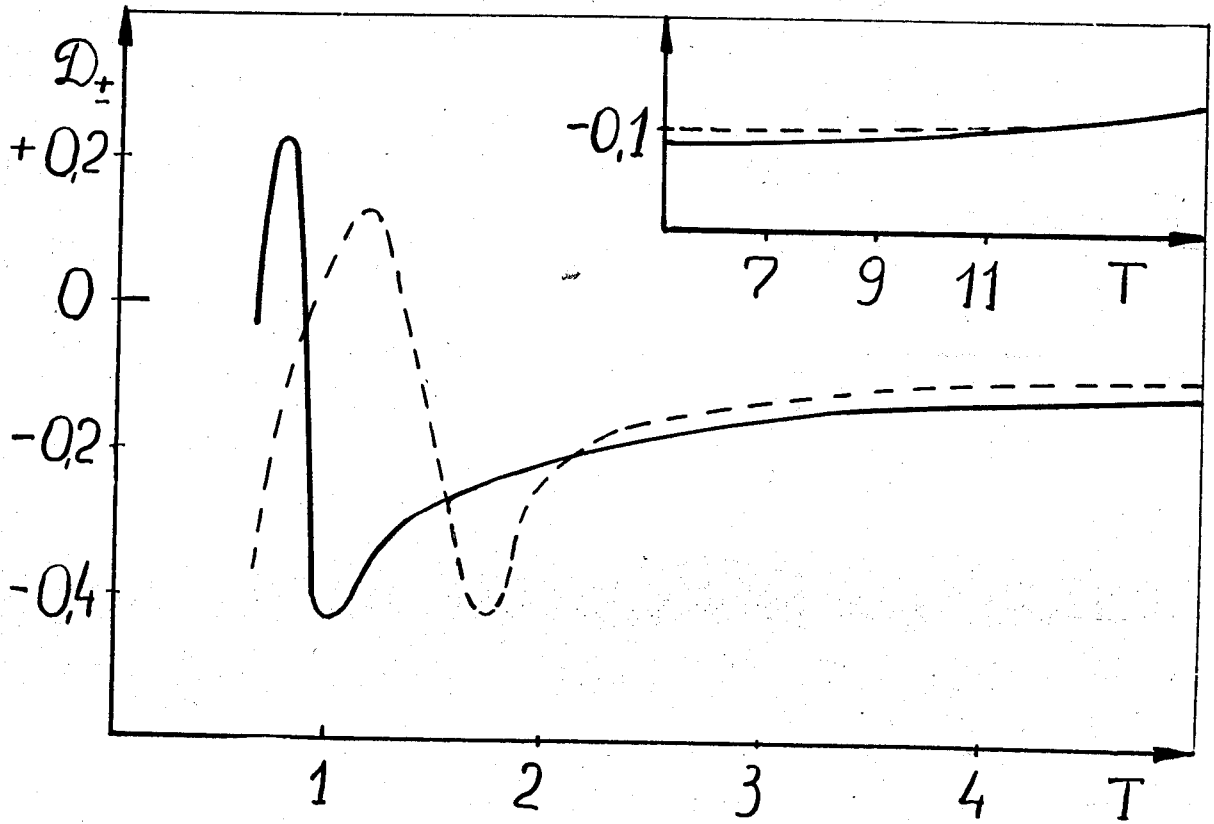


Рис. 2. То же, что и на рис. 1. Система центра масс.

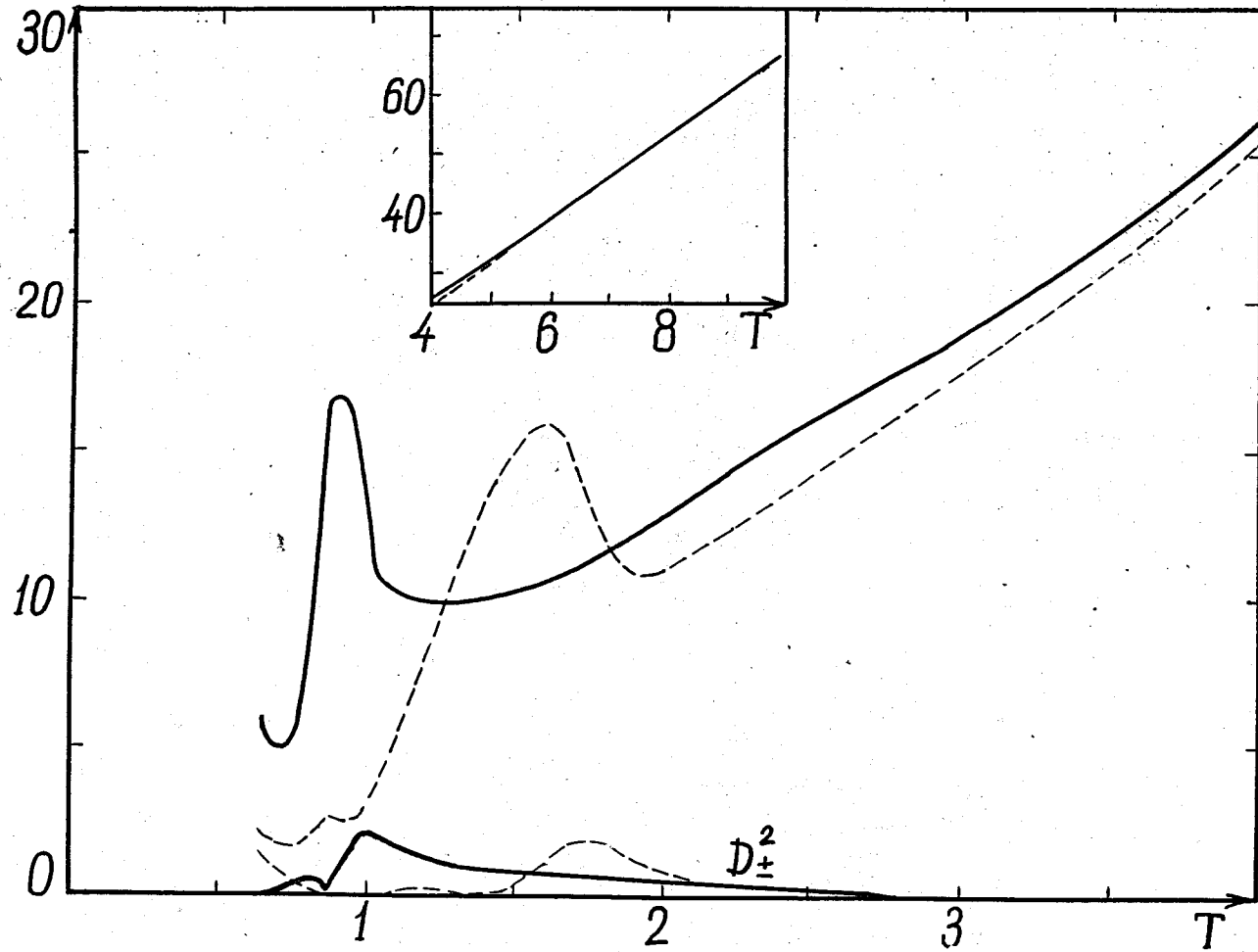


Рис. 3. Дифференциальное сечение упругого рассеяния π^+ -мезонов на нуклонах под нулевым углом в системе центра масс $d\sigma_{el}/d\Omega$. Приведены также значения вклада действительной части амплитуды D_{\pm}^2 . Сплошные кривые — (π^-p) ; пунктирные кривые — (π^+p) . Значения $d\sigma_{el}/d\Omega$ и D_{\pm}^2 даны в единицах 10^{-21} см²; значения кинетической энергии T — в Бэв.

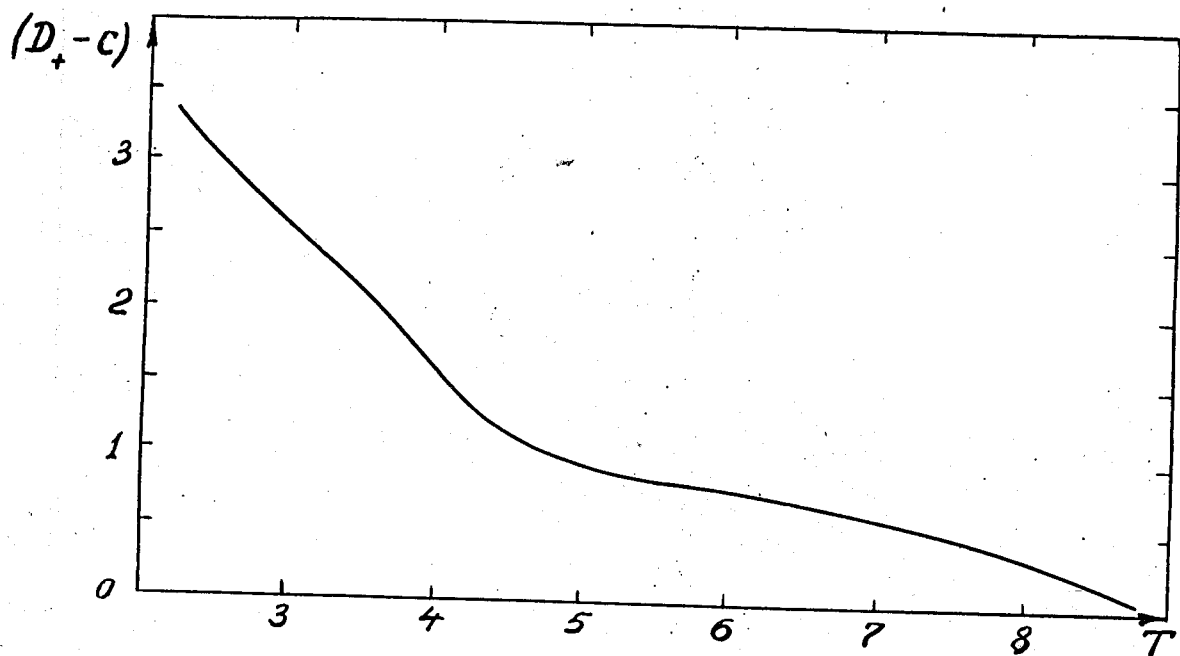


Рис. 4 Энергетическая зависимость действительной части амплитуды упругого / PP / - рассеяния $D_+(T)$. Лабораторная система координат. Значения кинетической энергии T приведены в Бэв; значения D_+ - в единицах 10^{-13} см. C - произвольная постоянная.

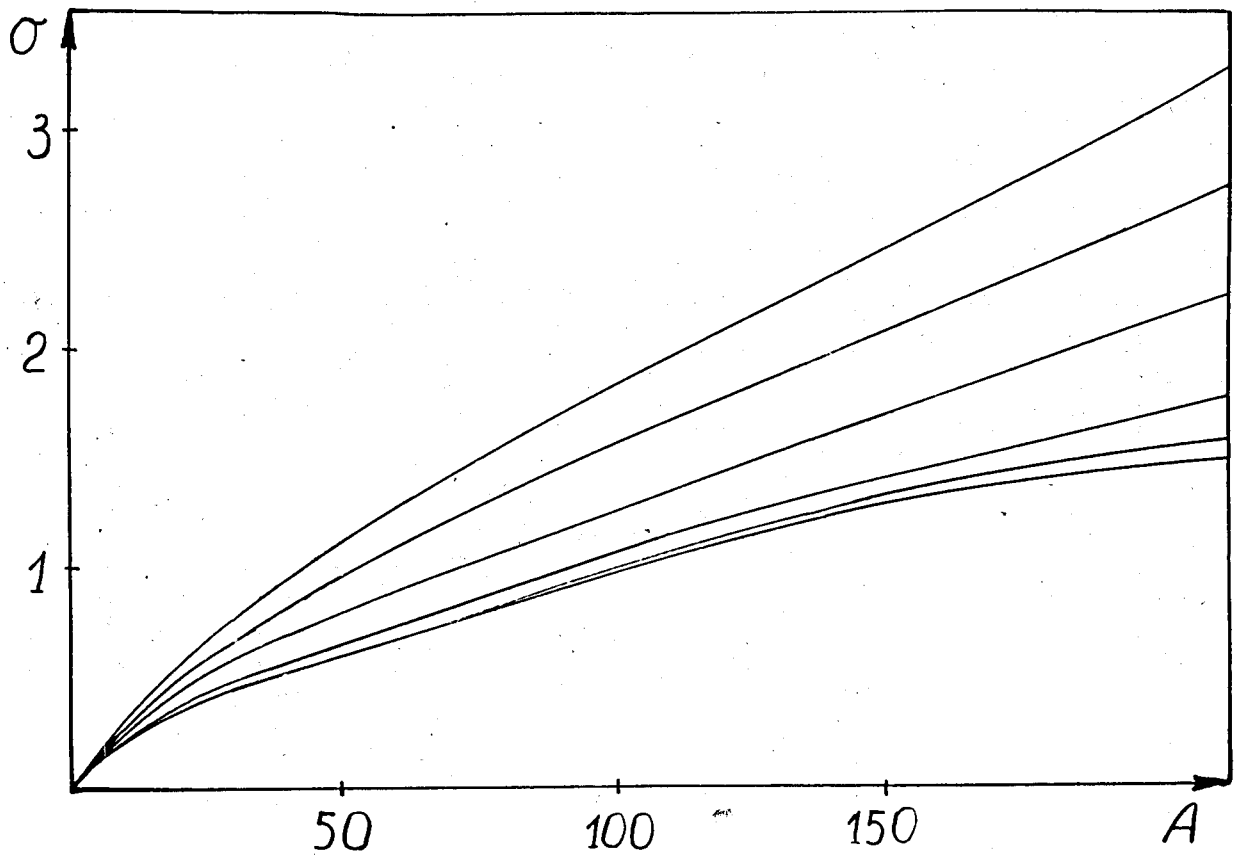


Рис. 5. Сечения взаимодействия быстрых нуклонов с ядрами. Три верхних кривых - полное сечение σ_t для энергий $T = 1, 5, 10$ Бэв /сверху вниз/. Три нижних кривых - сечение неупругих взаимодействий для $T = 1, 5, 10$ Бэв /сверху вниз/. Значения сечений приведены в единицах 10^{-24} см. A - атомный вес ядер.